

## پژوهشی

### بررسی اثر زمان بی هوازی و عمر لجن بر حذف بیولوژیکی فسفر در راکتورهای نایپوسته با عملیات متوالی

\* دکتر علی ترابیان

\*\* مهندس پینوش امین زاده

\*\*\* مهندس محمد رضا نیکی ملکی

#### کلمات کلیدی:

حذف بیولوژیکی فسفر، راکتور نایپوسته با عملیات متوالی، عمر لجن، زمان واکنش بی هوازی، تصفیه فاضلاب

#### چکیده:

در این تحقیق از دو راکتور نایپوسته با عملیات متوالی (SBR) که در مقیاس نیمه صنعتی ساخته شده بود جهت حذف بیولوژیکی فسفر استفاده شد هر دو راکتور در یک سیکل ۱۲ ساعته کار می کردند و راهبری آنها از طریق یک رایانه صورت می گرفت. از یک راکتور به عنوان شاهد، بدون مرحله بی هوازی اولیه (با ۹/۵ ساعت زمان هوازی) استفاده شد. در راکتور دیگر شرایط بی هوازی اولیه بدون تغییر در زمان کل واکنش (۹/۵ ساعت) مهیا گردید. متوسط غلظت فسفر و COD در خروجی ورودی به راکتورها به ترتیب برابر بود با ۷/۵ و ۸۰۰ میلی گرم در لیتر. متوسط راندمان حذف فسفر در راکتور شاهد و راکتور دوم با زمانهای واکنش بی هوازی ۲، ۴/۵ و ۴/۵ ساعت در طی دوره های ۲ ماهه به ترتیب برابر با ۱۶٪، ۲۶٪ و ۵۶٪ و ۹۹٪ بود. از طرف دیگر افزایش عمر لجن از ۵ روز به ۱۰ روز در راکتور با زمان واکنش بی هوازی ۴/۵ ساعت، باعث کاهش راندمان حذف فسفر از ۹۹٪ به ۸۷٪ شد.

در کل بررسی نتایج حاصله از عملکرد راکتورها نشان می دهد که از یک طرف با افزایش زمان واکنش بی هوازی، به دلیل غلبه میکرووارگانیزمهای حذف کننده فسفر بر سایر گونه ها می توان راندمان حذف فسفر را بالا برد و از طرف دیگر با کنترل دقیق حجم لجن مازاد (عمر لجن) در راندمان حذف اثر مثبت گذاشت.

\* استادیار گروه مهندسی عمران محیط زیست، دانشکده محیط زیست دانشگاه تهران.

\*\* مریم گروه مهندسی عمران محیط زیست، دانشکده محیط زیست دانشگاه تهران.

\*\*\* دانشجوی کارشناسی ارشد مهندسی عمران محیط زیست، دانشکده محیط زیست دانشگاه تهران.

## سو آغاز

بی‌هوایی اولیه نقش تعیین کننده‌ای در غلبه‌این باکتریها بر سایر گونه‌ها در جذب مواد غذایی دارد. بر اساس بیشتر مدل‌های بیولوژیکی حذف فسفر، باکتریهای حذف کننده فسفر در مرحله متوالی (SBR)<sup>(۱)</sup> در تصفیه فاضلابها نسبت به سایر فرآیندهای بی‌هوایی اولیه مواد غذایی را به صورت اسید پلی هیدروکسی B (Silverstein and Schroeder, 1983, Irvine et al. 1979, 1983) راکتورهای ناپیوسته در حقیقت شکل ایده‌آل راکتورهای با جریان لجن فعال گزارش شده است. نهر گونه‌ی می باشد.

به طور معمول هر سیستم SBR از یک یا بیشتر از یک راکتور ناپیوسته تشکیل شده است که به طور موازی و به صورت (پر-خالی) عمل می‌نماید. در تصفیه بیولوژیکی فاضلابها عموماً هر راکتور در سیستم SBR دارای پنج مرحله زمانی می‌باشد. این مراحل عبارتند از پر کردن، واکنش، ته نشینی، تخلیه و استراحت.

## مواد و روشها

در این تحقیق از دو راکتور استوانه‌ای شکل با حجم مفید ۲۴ لیتر استفاده شد. ۱۰ لیتر از حجم هر راکتور برای قسمت ته نشینی در نظر گرفته شده بود. راکتورها مجهز به شیرهای برقی در زمان پرسدن حجم مایع درون راکتور از حداقل به

حداکثر افزایش می‌یابد. این زمان پرسدن می‌تواند توأم با همزنی یا هوادهی و یا هر دو باشد. در زمان واکنش جریان ورودی قطع شده همزنی یا هوادهی باعث واکنش تبییت بیولوژیکی می‌شود. در این مرحله می‌توان با تخلیه لجن اضافی، حجم حرم میکری را در حد نیاز کنترل نمود. در زمان ته نشینی هوادهی و همزنی قطع می‌گردد تا حرم میکروبی تشکیل لخته داده و ته نشین شود و در زمان تخلیه پساب تصفیه شده تخلیه می‌شود تا حجم مایع به حداقل برسد. پس از مدتی (زمان استراحت) مجدداً

فضلاً وارد راکتور می‌شود. استفاده از راکتورهای SBR در حذف بیولوژیکی فسفر از فاضلاب از حدود دو دهه قبل گزارش شده است. (Shin and Jun, 1992; Manning and Irvine, 1985; Okada and Sudo, 1986; Marco et al, 1996)

گزارشات به ضرورت وجود یک مرحله بی‌هوایی اولیه جهت افزایش راندمان حذف اشاره شده است. با توجه به آنکه باکتریهای جذب کننده فسفر از قبیل استینوباکتر<sup>(۲)</sup> که از نوع اختیاری در صورتیکه در راکتور دیگر (SBR<sub>1</sub>) همین مدت زمان واکنش به دو مرحله بی‌هوایی و هوایی تخصیص یافته بود. خوراک ورودی به راکتورها روزانه به صورت مصنوعی ساخته می‌شد تا حداقل تغییر در مشخصات آن به وجود آید. جدول (۱) مشخصات خوراک ورودی به راکتورها را نشان می‌دهد.

به منظور بررسی اثر افزایش زمان واکنش بی‌هوایی در راندمان حذف فسفر در راکتور SBR مقدار این پارامتر در سه نوبت به ترتیب از ۲ ساعت به ۳ و ۴/۵ ساعت تغییر داده شد و در هر نوبت تغییرات سیکلی فسفر باقیمانده و نیز متوسط مقدار این پارامتر در سیکلهای مشابه موجود در یک دوره ۲ ماهه، ثبت شد.

انرژی ATP است مصرف می کنند که شکستن این مولکولهای پر انرژی به نوبه خود باعث رها شدن فسفر در راکتور شده است. در مرحله هوایی بعدی جذب سریع و ناگهانی فسفر اتفاق افتاده است که این جذب با مصرف غذایی ذخیره شده در طی مدت بی هوایی همراه بوده است. چنین پدیده ای در راکتور شاهد مشاهده نشد (شکل ۲). در این راکتور کاهش COD و فسفر محلول به صورت یکنواخت و کند بوده است.

مقایسه شکل های (۳)، (۴) و (۵) نشان می دهد مقدار COD محلول راکتور در ابتدای مرحله هوایی، با مدت زمان بی هوایی نسبت عکس دارد. بدین ترتیب که هر چقدر مدت زمان بی هوایی افزایش می یابد، مقدار COD محلول در شروع مرحله هوایی کار راکتور کاهش یافته است. کم بودن میزان COD در مرحله هوایی بعدی خودبخود جایی برای رشد و تکثیر سایر ارگانیزمهای غیرحذف کننده فسفر نگذاشته است. نتیجتاً میکرووارگانیزمهای حذف کننده فسفر گونه غالب راکتور شده و حذف بیشتر فسفر اتفاق افتاده است.

شکل (۶) متوسط میزان فسفر کل خروجی از راکتور شاهد و راکتور SBR با زمانهای مختلف بی هوایی را در طی دوره های ۲ ماهه نشان می دهد. همانطور که از شکل مشخص است با ایجاد شرطیت بی هوایی اولیه و افزایش زمان آن میزان فسفر خروجی از راکتور کاهش و یا به عبارتی راندمان حذف فسفر افزایش یافته است. (از ۱۶٪ در مورد راکتور شاهد تا مقادیر ۲۶٪ و ۹۹٪ به ترتیب در مورد راکتور SBR با زمانهای بی هوایی ۲، ۳ و ۴/۵ ساعت).

به منظور بررسی اثر عمر لجن در راندمان حذف فسفر، میزان عمر لجن در راکتور SBR (با زمان بی هوایی ۴/۵ ساعت و راندمان حذف ۹۹٪) مقدار این پارامتر از ۵ روز به ۱۰ روز افزایش یافت. شکل (۷) به مقایسه میزان حذف فسفر در راکتور SBR با زمان بی هوایی ۴/۵ ساعت و عمر لجن ۵ روز و ۱۰ روز پرداخته است. همانطور که از شکل مشخص است با افزایش عمر لجن از کارآئی راکتور SBR کاسته شده است (حدود ۱۰٪ کاهش راندمان مشاهده شد). این کاهش می تواند از یک طرف ناشی از خروج کمتر میکروارگانیزمهای باشد که درصد زیادی از جرم آنها را فسفر تشکیل داده است و از طرف دیگر نشان دهنده این موضوع باشد که میکروارگانیزمهای حذف کننده فسفر در قسمتی از مرحله رشد و تکثیر خود مقدار بیشتری فسفر جذب

جدول شماره (۱): مشخصات خواراک راکتورها

ماده	خلقت، میلی گرم در لیتر
ساکاروز	۶۰۰
استات	۱۷/۳
نیتروژن آمونیاکی	۵/۳
نیتروژن کل	۱۶/۲
اسیدهای آمینه	۵۲/۸
فسفر	۷/۵
پتاسیم	۲
سدیم	۶/۴
کلسیم	۵۰
منیزیم	۲۰
کلرید	۳۷/۳
اکسیژن خواص شیمیائی، COD	۸۰۰

عمر لجن یکی از پارامترهای مهم در طراحی سیستم های تصفیه بیولوژیک می باشد. پس از رسیدن به حداقل راندمان حذف فسفر در راکتور SBR (با زمان واکنش بی هوایی ۴/۵ ساعت و عمر لجن ۵ روز) میزان این پارامتر که در طول دوره مطالعه ثابت باقی مانده بود به ۱۰ روز افزایش یافت و اثر آن در عملکرد راکتورها بررسی شد.

کل مراحل تحقیق در دمای محیط انجام شد و اندازه گیری پارامترهای مورد لزوم از قبیل فسفر کل، فسفر محلول، COD کل و COD محلول بر اساس دستورالعمل کتاب روش های استاندارد (Standard Methods) صورت گرفت.

## نتایج و بحث

شکل (۲) تغییرات COD و فسفر محلول در یک سیکل راکتور شاهد (بدون زمان بی هوایی) و اشکال (۳)، (۴) و (۵) تغییرات همین پارامترها را در یک سیکل راکتور SBR با زمان های بی هوایی ۲، ۳ و ۴/۵ ساعت نشان می دهد.

مقایسه شکل (۲) با اشکال (۳)، (۴) و (۵) نشان می دهد که با ایجاد شرایط بی هوایی اولیه در ابتدای غلظت فسفر محلول در راکتور SBR افزایش یافته است. این نتیجه می تواند مؤید این فرضیه باشد که میکروارگانیزمهای حذف کننده فسفر برای جذب بیشتر مواد غذایی، منبع انرژی خود را که به صورت مولکولهای پر

- Shin, H. S. et al. 1992. Development of excess phosphorus removal characteristics in a SBR. *Wat. Sci. Tech.* 25(4-5): 433-440.
- Irvine, R. L. et al. 1979. Sequencing batch reactors: an overview. *J. WPCF.* 51: 235.
- Irvine, R. L. et al. 1983. Municipal application of sequencing batch treatment. *J. WPCF.* 44: 484.
- Manning, J. F. et al. 1985. The biological removal of phosphorus in a sequencing batch reactor. *J. WPCF.* 57(1).
- Garzon, M. A. et al. 1996. Biological phosphorus and nitrogen removal in a biofilm sequencing batch reactor. *Wat. Sci. Tech.* 34(1-2): 293-301.
- Okada, M. et al. 1986. Performance of SBR activated sludge processes for simultaneous removal of Nitrogen, Phosphorus and BOD as applied to small community sewage treatment. *Wat. Sci. Tech.* 18: 363-370.
- Silverstein, J. et al. 1983. Performance of SBR activated sludge processes with nitrification / denitrification. *J. WPCF.* 55: 377-384.
- Eaton, A. D. et al. (Editor). 1995. Standard methods for the examination of water and wastewater. 19<sup>th</sup> Edition. APHA.

می‌کنند. در واقع تخلیه مقدار مناسبی از جرم میکروبی باعث است  
می‌شود که در مرحله بعدی آغاز کار راکتور و در ابتدای سیکل با  
افزایش نسبت  $\frac{F}{M}$  میکروبها وارد مرحله رشد و تکثیر سریع شده  
(رشد لگاریتمی) و در چنین شرائطی منجر به حذف بیشتر فسفر  
شوند.

### نتیجه گیری

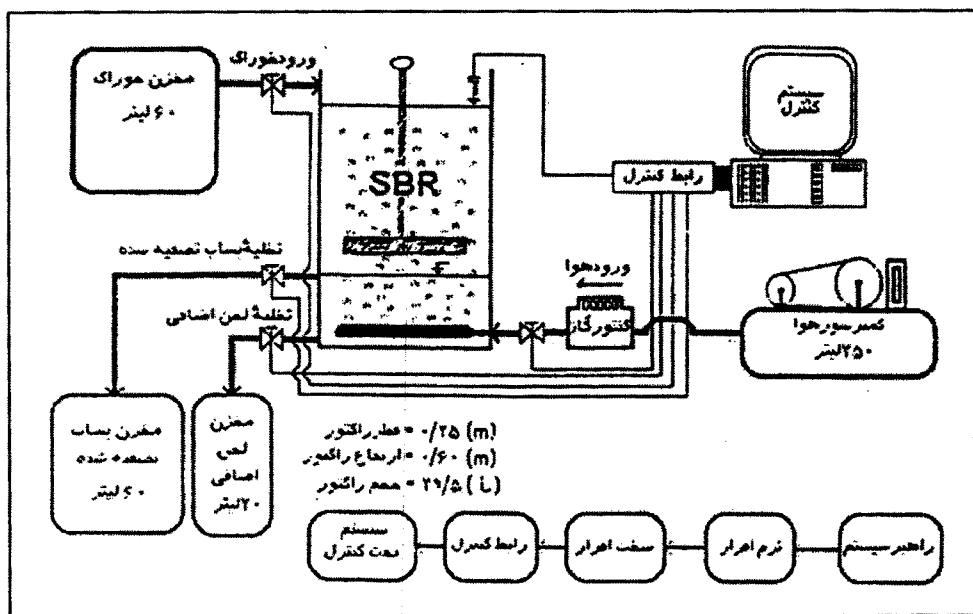
میکروارگانیسمهای حذف کننده فسفر در سیستمهای معمول  
تصفیه فاضلاب به صورت مغلوب جزء کوچکی از جرم میکروبی  
موجود در تصفیه خانه‌ها را تشکیل داده که به هیچ وجه در جذب  
مواد غذایی و رشد و تکثیر نمی‌توانند با سایر میکروارگانیسمها  
رقابت داشته باشند. با ایجاد یک مرحله بی‌هوایی اولیه می‌توان  
شرایط را به نفع این میکروارگانیسمها تغییر داد  
میکروارگانیسمهای حذف کننده فسفر در صورتیکه درصد زیادی از  
مواد آلی فاضلاب در مرحله بی‌هوایی مصرف شود، به صورت  
موجودات کاملاً غالب درمی‌آیند. زیرا سایر میکروارگانیسمها در  
شرطی بی‌هوایی نمی‌توانند به طور مؤثری با این  
میکروارگانیسمها رقابت نمایند و در فاز هوایی بعدی نیز مواد  
غذایی به اندازه کافی در اختیار نخواهند داشت. از طرف دیگر به  
نظر می‌رسد میکروارگانیسمهای حذف کننده فسفر در مراحل رشد  
سریع خود (رشد لگاریتمی) می‌توانند مقدار بیشتری از فسفر جذب  
کنند. به همین دلیل با کنترل دقیق زمان بی‌هوایی و تخلیه لجن  
اضافی در یک راکتور SBR می‌توان حذف فسفر را به حداقل  
رساند تا جایی که ۹۹٪ فسفر ورودی حذف بشود.

### یادداشتها

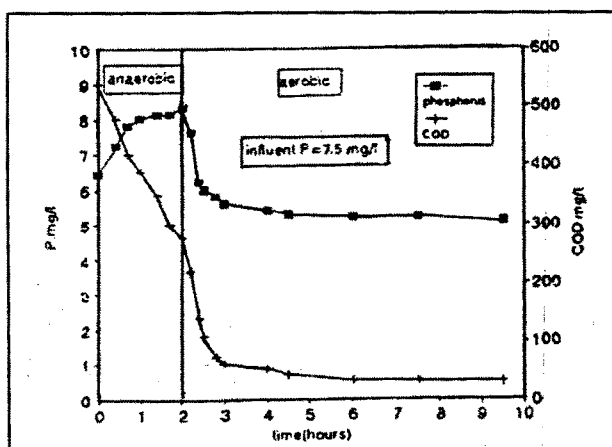
- 1- Sequencing Batch Reactor
- 2- Acetino Bacter

### منابع مورد استفاده

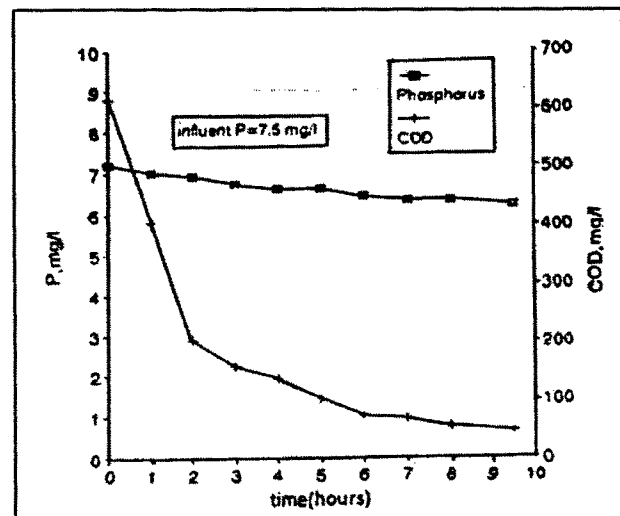
- Comeau, Y. et al. 1986. Biochemical model for enhanced biological phosphorus removal. *Wat. Res.* 20: 1511.



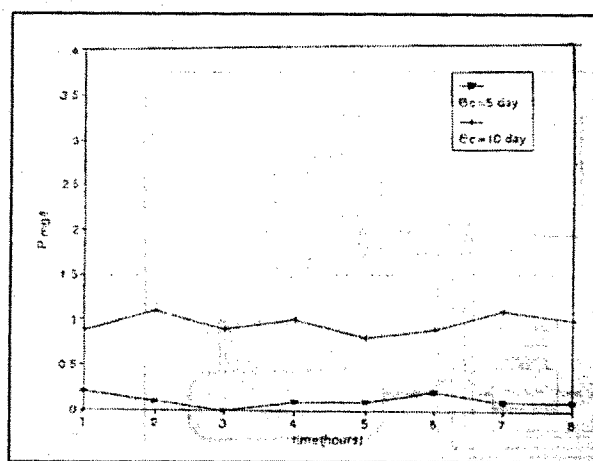
شکل شماره (۱): جانمایی قسمت های مختلف سیستم و فحود راهبری



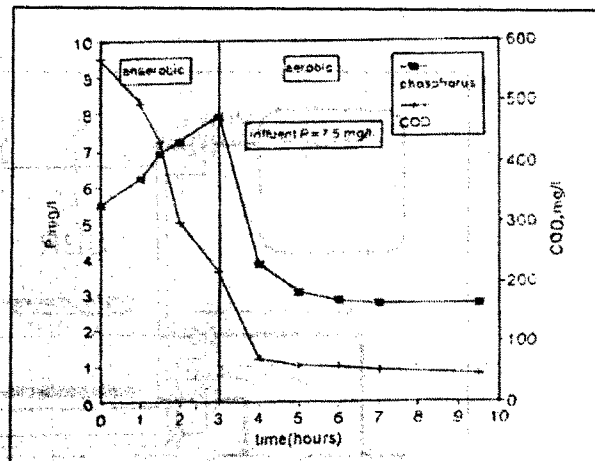
شکل شماره (۳): بررسی تغییرات COD و فسفر محلول در یک سیکل در راکتور شاهد SBR (با زمان بی‌هوایی ۲ ساعت)



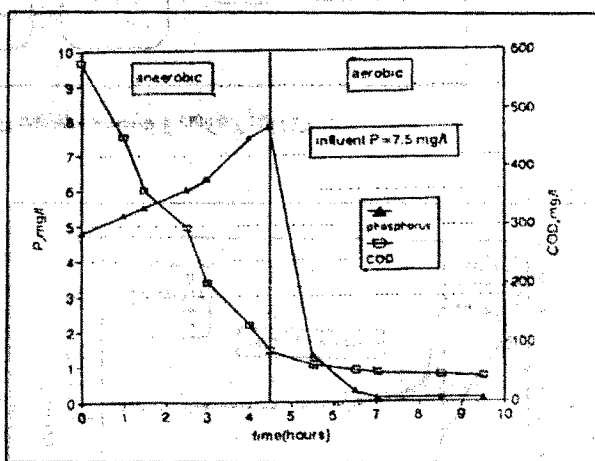
شکل شماره (۷): بررسی تغییرات COD و فسفر محلول در یک سیکل در راکتور شاهد (بدون زمان بی‌هوایی)



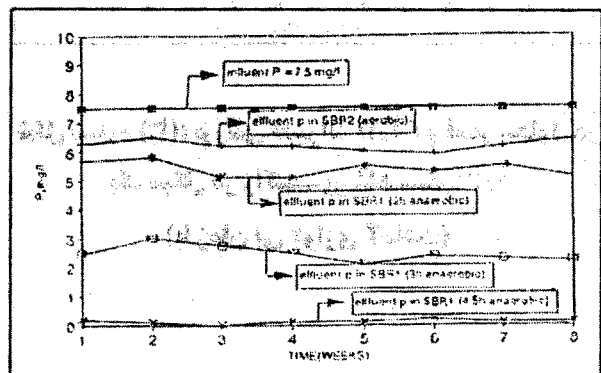
شکل شماره (۴): مقایسه حذف فسفر در راکتور<sub>۱</sub> با زمان بی هوایی ۴/۵ ساعت و عمر لجن متفاوت



شکل شماره (۵): بروزی تغیرات COD و فسفر محلول در یک سیکل در راکتور<sub>۱</sub> SBR (با زمان بی هوایی ۳ ساعت)



شکل شماره (۶): بروزی تغیرات COD و فسفر محلول در یک سیکل در راکتور<sub>۱</sub> SBR (با زمان بی هوایی ۴/۵ ساعت)



شکل شماره (۷): مقایسه حذف فسفر در راکتورهای<sub>۱</sub> و<sub>۲</sub> SBR در شرایط عملیاتی مختلف